

مقایسه برخی روش‌های پیش‌پردازش طیف مرئی/فروسرخ نزدیک موج کوتاه بر عملکرد مدل حداقل مربعات جزئی (مطالعه موردی: ارزیابی رسیدگی میوه انجیر)

رضا محمدی‌گل^{۱*}، بابک ولی‌زاده کاجی^۲، مجید لشگری^۳ و رضا صیاد حق‌شمار^۴

۱. استادیار گروه مهندسی مکانیک بیوسیستم دانشگاه اراک (r-mohammadigol@araku.ac.ir)
۲. دانشیار گروه مهندسی باگبانی دانشگاه اراک (valizadehkaji@yahoo.com)
۳. دانشیار گروه مهندسی مکانیک بیوسیستم دانشگاه اراک (m-lashgari@araku.ac.ir)
۴. دانشجوی کارشناسی ارشد گروه مهندسی باگبانی دانشگاه اراک (rezasayad4747@gmail.com)

چکیده

طیف‌های مرئی و فروسرخ نزدیک اخذ شده از مواد مختلف علاوه بر اطلاعات ناشی از ساختار مولکولی نمونه، حامل داده‌های ناخواسته از قبیل نوافه و نور پس زمینه است. لذا برای رسیدن به مدل واسنجی دقیق و قابل اعتماد معمولاً پیش‌پردازش داده‌های طیفی قبل از مدل‌سازی ضرورت دارد. در این پژوهش تأثیر روش‌های هموارسازی، نرمال‌سازی، Detrending، توزیع نرمال استاندارد (SNV) و تصحیح پراکنش افزاینده (MSC) به صورت انفرادی یا ترکیبی در دقت پیش‌بینی مدل حداقل مربعات جزئی (PLS) مورد بررسی قرار گرفتند. تعداد ۱۶۷ میوه انجیر برای تدوین و اعتبارسنجی مدل‌ها انتخاب شدند. از روش آنالیز مولفه‌های اصلی (PCA) برای استخراج مولفه‌های اصلی طیف‌ها استفاده شد. عملکرد مدل مربعات حداقل جزئی (PLS) و روش‌های رایج پیش‌پردازش داده‌های طیفی با شاخص‌های: انحراف پیش‌بینی باقیمانده (RPD)، ضریب همبستگی تخمین (rp) و جذر میانگین مربعات خطای پیش‌بینی (RMSEP) مورد ارزیابی قرار گرفت. بیشترین شاخص RPD در پیش‌بینی سفتی بافت برابر $1/79$ (۱۷٪) و $rp=0.845$ (۶۴٪) در پیش‌پردازش +De-trending +هموارسازی بدست آمد.

کلمات کلیدی:

پیش‌پردازش، رسیدگی انجیر، حداقل مربعات جزئی، طیف‌سنجی فروسرخ نزدیک موج کوتاه/مرئی، ارزیابی غیره خرب.

*نویسنده مسئول

مقایسه برخی روش های پیش پردازش طیف مرئی / فروسرخ نزدیک موج کوتاه بر عملکرد مدل حداقل مربuat جزئی (مطالعه موردی: ارزیابی رسیدگی میوه انجیر)

مقدمه

به طور کلی تحقیقات فرایندهای درباره استفاده از روش های طیف سنجی نوری به همراه الگوریتم ها و روش های تحلیل اطلاعات طیفی در مقوله های مختلف علمی موجود است. اما سهم کشاورزی در این تحقیقات نسبت به حوزه های دیگر مانند شیمی، فیزیک، علوم زیستی و غیره کمتر و البته رو به افزایش است که از دلایل اصلی آن می توان به توسعه قابل توجه و روز افزون ابزار مورد نیاز طیف سنجی رامان از قبیل تکنولوژی لیزر، دتکتورها، میکروسکوپ ها، فیبرهای نوری و فیلترها اشاره نمود که باعث ارتقاء اطلاعات حاصله از طیف مواد مختلف می شود [۱۸].

میوه انجیر ۱ بدلیل طعم جذاب، رنگ، ارزش های تغذیه ای و دارویی آن شناخته شده است. سفتی بافت انجیر بعنوان یکی از شاخص های کیفی آن بر شمرده شده است [۲۴] و استفاده از این شاخص به تنها بیان معیار رسیدگی، در درجه بندی غیر مخرب برخی از میوه ها تحقیق شده است [۱۲ و ۲۳].

ناحیه ۱۱۰۰-۳۵۰۰ نانومتر از طیف الکترومغناطیسی نور بنام مرئی / فروسرخ نزدیک موج کوتاه شناخته می شود [۸]. به علت محتوای بالای آب میوه و سبزی ها (۹۰-۸۰درصد)، باندهای جذبی مربوط به آب در طیف NIR آن ها غالب است [۱۰]. مرکز تقریبی باندهای جذبی مربوط به آب (ارتفاعات پایه و اورتون های O-H) در طول موج های ۹۷۰، ۱۲۰۰، ۱۴۵۰، ۱۹۰۰ و ۲۲۵۰ نانومتر گزارش شده است [۱۰ و ۲۶] لذا انتخاب ناحیه طیفی فروسرخ نزدیک موج کوتاه / مرئی در موضوعات متکی بر آنالیزهای کمی ترکیباتی از میوه ها که عالم طیفی آن ها در این باند قرار می گیرد از نظر کاهش اثر آب در طیف نمونه، انتخاب مناسبی به نظر می رسد.

اسپکتروسکوپی فروسرخ نزدیک / مرئی این امکان را فراهم می سازد که ارزیابی کیفی بصورت آسان، سریع، دقیق، غیر مخرب، ارزان و بدون نیاز به آماده سازی قبلی نمونه انجام شده و اندازه گیری های برش خود بدلیل وجود پتانسیل توسعه ابزار اندازه گیری موردنیاز نیز ممکن شود [۴]. پیشرفت فعلی و رو به رشد فناوری تجهیزات نوری در دنیا باعث کوچک تر شدن ابعاد و اجزای اسپکترومتر ها شده و کاربردهای عملی انواع اسپکترومترهای قابل حمل که با تعداد طول موج های کمتری کار می کنند توسط پژوهشگران بررسی شده است [۱۱، ۱۹ و ۲۷].

مونرا و همکاران [۱۴] در تحقیق خود کیفیت داخلی میوه خرمالو رقم Rojo Brillanta را با استفاده از مدل سازی داده های حاصل از تصویربرداری فراتیفی در محدوده مرئی و فروسرخ نزدیک (۱۰۲۰-۱۴۵۰ نانومتر) مورد بررسی قرار دادند. آنها نمونه های موردن بررسی را در سطوح مختلف دی اکسید کربن موردن تیمار قرار دادند تا نمونه هایی با درجه رسیدگی مختلف و سطوح متفاوت از گسی (قانون محلول) داشته باشند. از داده های طیفی در تدوین مدل

^۱ *Ficus carica L*

های طبقه بندی برای تشخیص سطوح مختلف رسیدگی و گسی استفاده کردند. آنها همچنین از مدل رگرسیونی مربعات حداقل جزئی برای پیش‌بینی سفتی گوشت میوه استفاده کردند. طول موج‌های بهینه توسط روش آنالیز مولفه‌های اصلی ۵۸۰، ۶۸۰ و ۱۰۵۰ نانومتر بدست آورده شدند. دقت طبقه‌بندی مدل‌ها بالای ۹۲ درصد بدست آمد. مدل QDA در تکییک سطح گسی دقت ۹۵ درصد را نتیجه داد. در طول موج‌های ذکر شده در تخمین درجه سفتی، $R^2 = 0.86$ و RPD برابر $1/8.6$ بدست آمدند. آنها جمع‌بندی نمودند که تصویربرداری فراتریفی بعنوان یک ابزار غیرمخرب در ارزیابی سفتی، رسیدگی و مقدار گسی میوه خرمالو پتانسیل لازم را دارد.

در مورد تخمین مقدار سفتی میوه هلو با استفاده از اسپکتروسکوپی فروسرخ نزدیک ($800-2500$ نانومتر) به کمک روش مدل‌سازی مربعات حداقل جزئی بهترین نتیجه با پیش‌پردازش MSC برابر 0.864 ± 0.042 گزارش شده است (Fu et al., 2008). در سنجش کمی سفتی میوه کیوی بیشترین عملکرد مدل شبکه‌های عصبی مصنوعی (ورودی: نسبت‌های غلظت عناصر تغذیه‌ای) بدست آمده $rp = 0.85$ و $RMSEP = 0.539$ گزارش شده است [۲۳].

الهمدان و همکاران [۱] با استفاده از طیف سنجی موئی/فروسرخ نزدیک ($200-285$ نانومتر) ویژگی‌های بافتی و حسی خرمای Khalal Barhi را در شرایط انبار شده ارزیابی نمودند. آنها نمونه‌های خود را در سه سطح رسیدگی (سبز، زرد و قهوه‌ای) فراهم نمودند. نمونه‌ها را به دو قسمت تقسیم کردند گروه اول برای بررسی در شرایط میوه تازه و گروه دوم سه شرایط محیطی مختلف تا 120 روز انبار شدند. نتایج گزارش شده حاکی از عملکرد بسیار خوب مدل رگرسیون مولفه‌های اصلی در پیش‌بینی سفتی بافت و چسبندگی (پارامترهای بافتی) بوده است اما مدل مذکور در پیش‌بینی خاصیت جوندگی عملکرد ضعیفی داشته است. لذا عنوان نمودند که این نتایج در فرآیند درجه بندی برخط تجاری بر پایه ویژگی‌های کیفی با بکار گیری ابزار اندازه‌گیری مبتنی بر طیف‌های فروسرخ نزدیک کاربردی است.

کاربرد اسپکتروسکوپی فروسرخ نزدیک/موئی در سنجش کمی و کیفی میوه‌ها و سبزیجات مختلف، به تکییک محصول و جزئیات سامانه طیف سنجی بکار رفته، در مقالات [۲، ۴، ۹ و ۲۵] ارائه شده است. هدف از انجام تحقیق حاضر مقایسه روش‌های پیش‌پردازش طیف‌های بازتابی فروسرخ نزدیک موج کوتاه/موئی ($425-950$ نانومتر) در دقت پیش‌بینی مقدار سفتی بصورت غیرمخرب، بعنوان شاخص رسیدگی میوه انجیر بوده است.

مواد و روش‌ها

نمونه‌ها

نمونه‌های میوه انجیر سیاه (رقیم محلی) در سه دسته ۶۰ عددی در سه مرحله زمانی رسیدگی کامل، نیمه رسیده و نرسیده و به تعداد کل 180 نمونه از یک درخت در باگی واقع در منطقه هزاوه (استان مرکزی) تهیه شدند. با این

روش نمونه برداری، تنوع مورد نیاز نمونه ها در مقدار شاخص های سفتی و مزه ایجاد شد.

سامانه طیف سنجی و طیف برداری

اجزای سامانه طیف سنجی به کار رفته شامل: اسپکترومتر از نوع قابل حمل (Flame optics Ocean optics سری)، دارای گذرگاه USB ، ابعاد $31/9 \times 63/5 \times 88/9$ میلیمتر، وزن ۲۶۵ گرم، محدوده کاری $350-1000$ نانومتر، تعداد پیکسل 2048×2048 ، نسبت سیگنال به نویز $250/1$ و تفکیک نوری $1/10$ نانومتر، مجهز به دتکتور Sony (CCD) و لامپ هالوژن (ILX511B linear silicon)، به عنوان منبع نور، فیبرهای نوری (مدل QP400) و تگهدارنده نمونه و پراب برهمنکشی (Intractance) بوده است. طیف برداری از میوه ها در حالت های متفاوت موقعیت منبع نور و دتکتور نسبت به یکدیگر از قبیل بازتابی، عبوری و بروهم کنشی 2 (دتکتور و منبع نور بصورت موازی با هم قرار دارند) قابل انجام است [۸ و ۱۵]. در این تحقیق از مد طیف برداری برهمنکشی و با استفاده از رابطه $1/3$ درصد بازتاب نور در هر طول موج اخذ و ثبت شد.

$$R (\%) = 100(R_S - R_D)/(R_R - R_D) \quad (1)$$

که در آن R درصد بازتاب نور، RS شدت نور حاصل از نمونه، RD شدت نور محیط و RR شدت نور ماده مرجع سفید است.

در هر نمونه در سه موقعیت مرکزی آن به فاصله تقریبی 120 درجه از یکدیگر و 12 اسکن در هر موقعیت به وسیله نرم افزار Spectrasuite طیف برداری شد. برای کاهش نویزهای ناشی از دمای دتکتور معمولاً در فرآیند طیف برداری، میانگین اسکن ها در نظر گرفته می شود [۱۵] لذا در مراحل بعدی میانگین 36 اسکن به عنوان طیف هر نمونه انجیر در نظر گرفته شد.

اندازه گیری سفتی

برای اندازه گیری سفتی بافت میوه انجیر از دستگاه سفتی سنج (STEP SYSTEM, Germany) با پیستون با قطر 8 میلی متر استفاده شد. پس از برداشتن اپیدرم در دو ناحیه در مرکز میوه، از نوک پیستون 5 میلی متری برای اندازه گیری سفتی میوه ها استفاده شد و قرائت ها به صورت کیلوگرم بر سانتی متر مربع ثبت شدند.

شیمی سنجی^۳

² Intractance

³ Chemometrics

پیش‌پردازش

پیش‌پردازش‌های متفاوتی برای داده‌های طیفی ابداع شده و در حال توسعه‌اند که عمدهاً هر کدام کاربری خاصی دارند و معمولاً هدف خاصی را دنبال می‌کنند. با این وجود نمی‌توان یک روش پیش‌پردازش مشخص را به عنوان بهترین روش معرفی کرد چرا که در تحقیقات مختلف و متنوع شرایط نمونه و آزمایش تغییر می‌نمایند. بر این اساس، در این تحقیق پس از اخذ طیف‌ها، از روش‌های معمول پیش‌پردازش استفاده شد [۱۵]. میانگین‌گیری متحرک از معمول ترین روش‌های هموارسازی است که در تحقیقات مشابه در مورد میوه‌های دیگر بصورت ترکیبی با روش‌های پیش‌پردازش مختلف مورد استفاده قرار گرفته است [۲۵]. از گروه پیش‌پردازش‌های فرمال‌سازی، توزیع نormal استاندارد^۴ و تصحیح پراکندگی افزاینده بطور کلی برای تصحیح اثر پراکندگی نور در طیف‌های اخذ شده استفاده شد [۲۲].

آالیز مولفه‌های اصلی^۵

آالیز مولفه‌های اصلی روشی است که باعث می‌شود اطلاعات مفید از داده‌ها استخراج شود، داده‌ها، متغیرها و روابط بین آنها لکاوش شده و همبستگی کلی بین متغیرها فهمیده شود [۲]. در این روش متغیرهای جدیدی ایجاد می‌شود که هر کدام یک ترکیب خطی از متغیرهای اصلی هستند. این متغیرهای جدید مولفه‌های اصلی نامیده می‌شوند و بیشترین اطلاعات (واریانس) موجود در ماتریس متغیرهای اصلی را در خود دارند. اولین مولفه اصلی بیشترین واریانس را دربر دارد در حالی که مولفه اصلی دوم اطلاعاتی را در خود دارد که توسط مولفه اصلی اول ارائه نشده است و این رویه به همین شکل در مولفه‌های بعدی نیز وجود دارد. مولفه‌های اصلی اول تا چهارم بعنوان ورودی مدل پیش‌بینی درنظر گرفته شدند.

مدلسازی

در آالیز رگرسیون مولفه‌های اصلی^۶ ترتیب مولفه‌های اصلی (نهفته) بر مبنای کاهش مقدار واریانس پوششی توسط آن‌ها در ماتریس داده‌های طیفی است. اشکال موجود اینست که اولین مولفه‌های اصلی لزوماً موثرترین (پر اطلاعات ترین) مولفه‌ها در ارتباط با متغیر هدف نیستند. تکنیک رگرسیونی حداقل مربعات جزئی (PLS) برای غلبه بر این مشکل ارائه شده است. در این روش متغیرهای نهفته که نسبت به هم متعامد هستند به گونه‌ای قرار می‌گیرند که کوواریانس بین ماتریس ورودی و بردار خروجی بیشینه گردد، در این روش اطمینان حاصل می‌شود که چیدمان متغیرهای نهفته (یا همان مولفه‌های اصلی) مطابق با اهمیت آنها در پیش‌بینی متغیر خروجی است [۱۵]. برای پیش‌بینی مقدار سفتی بافت از مدل PLS استفاده شد.

^۴ Standard Normal Variate (SNV)

^۵ Principle Components Analysis (PCA)

^۶ Principle Components Regression (PCR)

ارزیابی مدل

تدوین مدل بدون آزمون آن معنی ندارد لذا حدود ۲۷ درصد از کل طیف‌ها قبل از مدل‌سازی توسط نرم‌افزار بطور تصادفی برای اعتبارسنجی کنار گذاشته شدند سپس تدوین مدل (پیش‌بینی و طبقه‌بندی) با داده‌های باقیمانده انجام شد. توافقی پیش‌بینی مدل PLS، با استفاده از شاخص‌های: ریشه میانگین مربعات خطای پیش‌بینی (RMSEP)، ضریب همبستگی پیش‌بینی (rp) و انحراف پیش‌بینی باقیمانده (روابط ۲-۵) ارزیابی شد [۲۱، ۲۵، ۲۶] .

$$RMSEP = \sqrt{\sum_{i=1}^n (Y_i - \bar{X}_i)^2 / n_p} \quad (2)$$

$$r_p = \frac{\sum_{i=1}^n (X_i - \bar{X})(Y_i - \bar{Y})}{\sqrt{\sum_{i=1}^n (X_i - \bar{X})^2} \sqrt{\sum_{i=1}^n (Y_i - \bar{Y})^2}} \quad (3)$$

$$RPD = \sqrt{\sum_{i=1}^n (X_i - \bar{X})^2 / (n_p - 1)} / RMSEP = SD / RMSEP \quad (4)$$

که در آن X_i مقدار اندازه‌گیری شده متغیر نمونه i ، Y_i مقدار پیش‌بینی شده متغیر مورد نظر برای نمونه i و n_p تعداد نمونه‌های پیش‌بینی، \bar{X} میانگین مقدارهای اندازه‌گیری شده، SD انحراف استاندارد مقدارهای اندازه‌گیری شده در دسته نمونه‌های پیش‌بینی است.

از نرم‌افزار اسپکترواسویت^۷ در طیف برداری و برای آنالیز مولفه‌های اصلی، اعمال پیش‌پردازش‌های طیفی و مدل‌سازی از نرم‌افزار آن‌اسکرمبلر^۸ (نسخه ۴/۱۰) استفاده شد.

تحلیل نتایج

جدول ۱ مشخصات آماری نمونه‌های انجیر استفاده شده در تحقیق پس از حذف داده‌های پوت را نشان می‌دهد.

جدول ۱- مشخصات آماری دسته نمونه‌های آموزش و آزمون

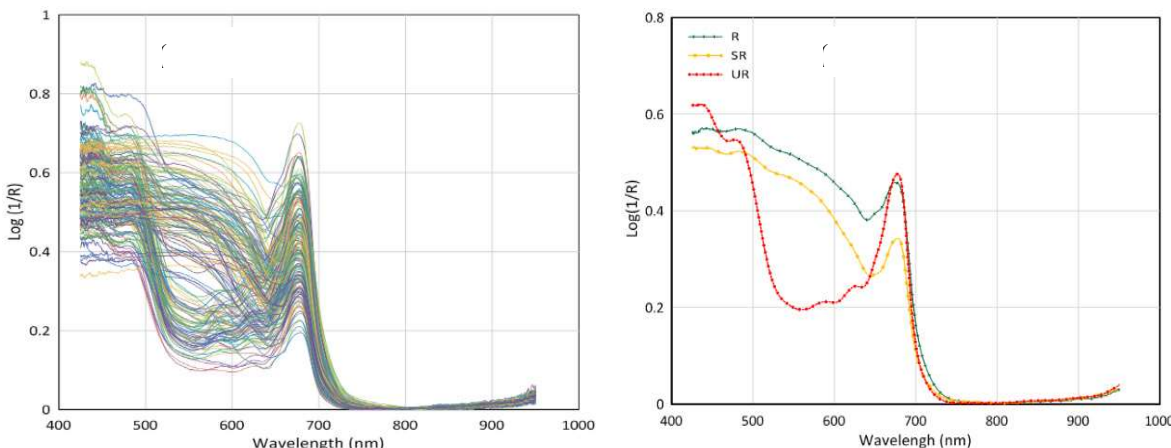
	دسته آزمون (۴۵ نمونه)				دسته آموزش (۲۲ نمونه)			
	انحراف استاندارد	میانگین Mean	بسیمه Max	کمینه Min	انحراف استاندارد	میانگین Mean	بسیمه Max	کمینه Min
SD	2.94	6.24	14.9	2.17	2.94	5.85	15.03	2.3

سفتی بافت
(کیلوگرم بر سانتیمترمربع)

⁷ Spectrasweet

⁸ Unscrambler

طول موج های ابتدا و انتهای طیف های حاصل از نمونه ها بدليل وجود نويز قابل توجه حذف شدند و آناليز داده های طيفی در محدوده ۴۲۵ تا ۹۵۰ نانومتر به انجام رسيد. در شكل (۱) قسمت A کل طيف های جذبي اخذ شده و در قسمت B ميانگين طيف های جذبي نمونه های انجير رسيد، نيمه رسيد و نرسيد در محدوده ۴۲۵-۹۵۰ نانومتر ديده می شود (طول موج های ابتدائي و انتهائي به دليل نويز زياد حذف شدند). شكل نشان می دهد که در يك طرف طول موج ها ميانگين جذب نور در نمونه انجير های نرسيد کمتر از بقیه نمونه ها ديده می شود در توضيح اين مساله می توان بيان کرد که اصولاً با تكميل مراحل رسيدگي ميوه تجزيه پكتين ها و هموسلولوز های داخل ميوه با آنزيم های خاصی شروع می شود و اين باعث تغيير ديواره سلولی، نرم شدن، شفافيت ميوه، افزایش عمق نفوذ پرتوهای نور و به طبع آن کاهش درصد انعکاس نور (افزايش جذب) و افزایش تغييرات در پخش پرتوهای نوری می شود (Cavaco *et al.*, 2009; Pourdarbani *et al.*, 2020).



شكل ۱- (A) کل طيف های اخذ شده در محدوده ۴۲۵-۹۵۰ نانومتر و (B) طيف های ميانگين انجير های رسيد (R)، نيمه رسيد (SR) و نرسيد (UR)

شكل نمودار ها نشان می دهد که الگوی جذبی طيف ها در ۶۸۰-۴۵۰ نانومتر متفاوت بوده و در محدوده باقيمانده الگوی جذبی نمونه ها بسيار مشابه است در چنین مواردي برای استخراج اطلاعات مفيد احتمالي طيف ها ضرورت بكار گيري پيش پردازش های مناسب نمایان می شود (Teye *et al.*, 2019). از طرفی برای حذف اطلاعات ناخواسته (نويز)، طيف های خام معمولاً با روش های پيش پردازش مناسب اصلاح می شوند.

مدل PLS

در تدوين يك مدل پيش بيني کننده اگر مقدار $1/5 < RPD$ باشد مدل قابل استفاده نبوده و با $2 < RPD < 5/4$ تخمین مقدارهای کم و زياد پارامتر مورد نظر امكان پذير خواهد بود و چنانچه $2 < RPD < 5/2$ امكان

سنجهش کمی توسط مدل وجود داشته و نهایتاً $\text{RPD} = \frac{2}{5}$ و $r_p < 3$ به ترتیب میان دقت پیش بینی خوب و عالی هستند (Beghi et al., 2017). در حدود پایین RPD (کوچکتر از ۲) تفاوت های جزئی در بیان شرایط مدل ارائه شده است بنوان مثال بدست آمدن $1/8 < \text{RPD} < 1/4$ نشانه نسبتاً خوب بودن مدل و با $> 2 < \text{RPD} < 1/8$ سنجش کمی امکان پذیر دانسته شده است (Mouazen et al., 2010; Rossel et al., 2006).

جدول ۲- نتایج مدل PLS تدوین شده در پیش بینی مقدار سفتی بر پایه ترکیب روش های مختلف پیش پردازش

RPD	r_p	RMSEP	r_c	RMSEC	LVs	پیش پردازش
1.78	.846	1.64	.856	1.51	7	No Preprocessing
1.69	.825	1.73	.876	1.41	8	MA+SNV
1.71	.827	1.72	.870	1.44	7	MA+MSC
1.60	.821	1.74	.873	1.42	7	Normalize
1.79	.845	1.64	.853	1.52	7	MA+De-trending

در پیش بینی سفتی، $\text{RPD} = 1/79$ و $\text{RMSEP} = 1/64$ و $r_p = 0.845$ در پیش پردازش MA+De-trending بدست آمد.

نتیجه گیری

در طیف های فروسرخ نزدیک موج کوتاه / مرئی (۹۵۰-۴۲۵ نانومتر) اخذ شده از نمونه های انجیر تعداد پیک های کمی مشاهده شده که علت آن جذب نور توسط اورتون ها و ترکیب ارتعاشات پیوندهای پایه ای مواد ارگانیک تشکیل دهنده میوه انجیر است. الگوی انعکاسی طیف های اخذ شده در طول موج های زیادی به یکدیگر شباهت داشته و لذا عملکرد پیش پردازش های MA+SNV ، MA+MSC ، Normalize و MA+De-trending برای استخراج اطلاعات مفید موجود احتمالی در طیف ها بررسی شد. نتایج ارزیابی دسته نمونه های آزمون نشان داد که می توان مدل PLS را برای سنجش مقادیر زیاد و کم سفتی میوه بکار برد ($\text{RPD} = 1/79$).

منابع

- Alhamdan, A.M., Fickak, A. and Atia, A.R. 2019. Evaluation of sensory and texture profile analysis properties of stored Khalal Barhi dates nondestructively using Vis/NIR spectroscopy. Journal of Food Process Engineering, 42(6): e13215.
- Beghi, R., Buratti, S., Giovenzana, V., Benedetti, S. and Guidetti, R. 2017. Electronic nose and visible-near infrared spectroscopy in fruit and vegetable monitoring. Reviews in Analytical Chemistry, 36(4): 20160016.
- Cavaco, A.M., Pinto, P., Antunes, M.D., da Silva, J.M. and Guerra, R. 2009. ‘Rocha’pear firmness predicted by a Vis/NIR segmented model. Postharvest Biology and Technology, 51(3): 311-319.

4. Cortés, V., Blasco, J., Aleixos, N., Cubero, S. and Talens, P. 2019. Monitoring strategies for quality control of agricultural products using visible and near-infrared spectroscopy: A review. *Trends in Food Science & Technology*, 85: 138-148.
5. Forthofer, R.N., Hernandez, M. and Lee, E.S. 2007. Biostatistics: a guide to design, analysis and discovery. 349-386.
6. Fu, X.-p., Ying, Y.-b., Zhou, Y., Xie, L.-j. and Xu, H.-r. 2008. Application of NIR spectroscopy for firmness evaluation of peaches. *Journal of Zhejiang University SCIENCE B*, 9(7): 552-557.
7. Guo, Y., Ni, Y. and Kokot, S. 2016. Evaluation of chemical components and properties of the jujube fruit using near infrared spectroscopy and chemometrics. *Spectrochimica Acta Part A: Molecular and Biomolecular Spectroscopy*, 153: 79-86.
8. Jamshidi, B. 2020. Ability of near-infrared spectroscopy for non-destructive detection of internal insect infestation in fruits: Meta-analysis of spectral ranges and optical measurement modes. *Spectrochimica Acta Part A: Molecular and Biomolecular Spectroscopy*, 225: 117479.
9. Lin, H. and Ying, Y. 2009. Theory and application of near infrared spectroscopy in assessment of fruit quality: a review. *Sensing and instrumentation for food quality and safety*, 3(2): 130-141.
10. Magwaza, L.S., Opara, U.L., Nieuwoudt, H., Cronje, P.J., Saeys, W. and Nicolaï, B. 2012. NIR spectroscopy applications for internal and external quality analysis of citrus fruit—a review. *Food and Bioprocess Technology*, 5(2): 425-444.
11. Maraphum, K., Saengprachatanarug, K., Wongpichet, S., Phuphaphud, A. and Posom, J. 2020. In-field measurement of starch content of cassava tubers using handheld vis-near infrared spectroscopy implemented for breeding programmes. *Computers and Electronics in Agriculture*, 175: 105607.
12. Matteoli, S., Diani, M., Massai, R., Corsini, G. and Remorini, D. 2015. A spectroscopy-based approach for automated nondestructive maturity grading of peach fruits. *IEEE Sensors Journal*, 15(10): 5455-5464.
13. Mouazen, A., Kuang, B., De Baerdemaeker, J. and Ramon, H. 2010. Comparison among principal component, partial least squares and back propagation neural network analyses for accuracy of measurement of selected soil properties with visible and near infrared spectroscopy. *Geoderma*, 158(1-2): 23-31.
14. Munera, S., Besada, C., Aleixos, N., Talens, P., Salvador, A., Sun, D.-W., Cubero, S. and Blasco, J. 2017. Non-destructive assessment of the internal quality of intact persimmon using colour and VIS/NIR hyperspectral imaging. *LWT*, 77: 241-248.
15. Nicolai, B.M., Beullens, K., Bobelyn, E., Peirs, A., Saeys, W., Theron, K.I. and Lammertyn, J. 2007. Nondestructive measurement of fruit and vegetable quality by means of NIR spectroscopy: A review. *Postharvest Biology and Technology*, 46(2): 99-118.
16. Pourdarbani, R., Sabzi, S., Kalantari, D. and Arribas, J.I. 2020. Non-destructive visible and short-wave near-infrared spectroscopic data estimation of various physicochemical properties of Fuji apple (*Malus pumila*) fruits at different maturation stages. *Chemometrics and Intelligent Laboratory Systems*, 206: 104147.
17. Rossel, R.V., McGlynn, R. and McBratney, A. 2006. Determining the composition of mineral-organic mixes using UV-vis-NIR diffuse reflectance spectroscopy. *Geoderma*, 137(1-2): 70-82.

18. Slater, J.B., Tedesco, J.M. and Fairchild, R.C. 2001. Raman Spectrometry and Its Adaptation to the Industrial Environment. *Handbook of Raman Spectroscopy: From the Research Laboratory to the Process Line*: 41 .
19. Szuvandzsiev, P., Helyes, L., Lugasi, A., Szántó, C., Baranowski, P. and Pék, Z. 2014. Estimation of antioxidant components of tomato using VIS-NIR reflectance data by handheld portable spectrometer. *International Agrophysics*, 28(4) .
20. Teye, E., Amuah, C.L., McGrath, T. and Elliott, C. 2019. Innovative and rapid analysis for rice authenticity using hand-held NIR spectrometry and chemometrics. *Spectrochimica Acta Part A: Molecular and Biomolecular Spectroscopy*, 217: 147-154 .
21. Theanjumpol, P., Wongzeewasakun, K., Muenmanee, N., Wongsaipun, S., Krongchai, C., Changrue, V., Boonyakiat, D. and Kittiwachana, S. 2019. Non-destructive identification and estimation of granulation in ‘Sai Num Pung’ tangerine fruit using near infrared spectroscopy and chemometrics. *Postharvest Biology and Technology*, 153: 13-20 .
22. Tiecher, T., Moura-Bueno, J.M., Caner, L., Minella, J.P., Evrard, O., Ramon, R., Naibo, G., Barros, C.A., Silva, Y.J. and Amorim, F.F. 2020. Improving the quantification of sediment source contributions using different mathematical models and spectral preprocessing techniques for individual or combined spectra of ultraviolet-visible, near-and middle-infrared spectroscopy. *Geoderma*, 384: 114815 .
23. Torkashvand, A.M., Ahmadi, A. and Nikravesh, N.L. 2017. Prediction of kiwifruit firmness using fruit mineral nutrient concentration by artificial neural network (ANN) and multiple linear regressions (MLR). *Journal of integrative agriculture*, 16(7): 1634-1644 .
24. Tuai, P., Tinjauan, S., JUSOH, N.A.M., DING, P. and YEAT, C.S. 2020. Extending Post-Harvest Quality of Fresh Fig (*Ficus carica* L.) Fruit Through Manipulation of Pre-and Post-Harvest Practices: A Review. *Sains Malaysiana*, 49(3): 553-560 .
25. Wang, H., Peng, J., Xie, C., Bao, Y. and He, Y. 2015. Fruit quality evaluation using spectroscopy technology: a review. *Sensors*, 15(5): 11889-11927 .
26. Williams, P.C. and Norris, K. 2001. Variables affecting near-infrared spectroscopic analysis. *Near-infrared technology in the agricultural and food industries*: 171-189 .
27. Yan, H. and Siesler, H.W. 2018. Identification of textiles by handheld near infrared spectroscopy: Protecting customers against product counterfeiting. *Journal of Near Infrared Spectroscopy*, 26(5): 311-321 .

Comparison of some Vis/SWNIR preprocessing methods on the performance of the partial least squares model (Case study: evaluation of fig fruit ripeness)

Reza Mohammadigol^{1*}, Babak Valizadehkaji², Majid Lashgari³ and Reza Sayad Haghshomar⁴

1. Department of Biosystems Engineering, Arak University, Arak, Iran
2. Department of Horticultural Engineering, Arak University, Arak, Iran
3. Department of Biosystems Engineering, Arak University, Arak, Iran
4. Department of Horticultural Engineering, Arak University, Arak, Iran

Abstract

Vis/NIR spectra have included unuseful data such as noise and background light in addition to the sample molecular structure information. Therefore, to achieve accurate and reliable calibration models, before modeling, usually spectral data preprocessing is necessary. In this study, the effect of smoothing, normalization, Detrending, standard normal variation (SNV) and multiplicative scatter correction (MSC) individually or in combination to each other on the accuracy of Partial least squares (PLS) modeling techniques were studied. A total of 167 fig fruits were selected for the development and validation of the models. Principal component analysis (PCA) was employed to extract the principal components of the spectra. PLS performance and common spectral data pretreatment methods were evaluated using the residual prediction deviation (RPD), predictive correlation coefficient (rp), and root mean square error of prediction (RMSEP). Based on the combined pretreatment method of MA + De-trending, the highest mean value of RPDs, 1.79 (RMSEP = 0.845, rp = 1.64) was achieved.

Key words: Preprocessing, Fig fruit ripeness, Partial least squares, Vis/SWNIR spectroscopy, non-destructive evaluation.

*Corresponding author
E-mail: r-mohammadigol@araku.ac.ir